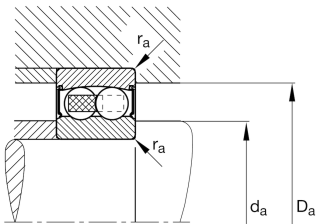
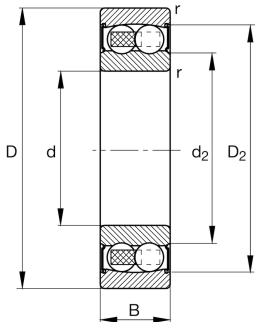


**FAG****2206-2RS-TVH>N**

Радиальный сферический шарикоподшипник

Радиальный сферический шарикоподшипник 22...-2RS-TVH, уплотнительные шайбы, пластмассовый сепаратор

Техническая информация



Ваш текущий вариант продукта

Version code	>N	Not marked on bearing
Исполнение отверстия	Z	Цилиндрическое
Уплотнение	2RS	Контактные уплотнения с двух сторон
Cage	TVH	Solid cage made of glass-fiber reinforced polyamide PA66
Tolerance class	PN	Tolerance class PN, acc. to DIN 620
Радиальный зазор	CN (Group N)	Normal internal clearance
Lubricant	GA14	Ball bearing grease, low noise

Основные размеры и рабочие характеристики

d	30 mm	Диаметр отверстия
D	62 mm	Наружный диаметр
B	20 mm	Ширина
C_r	15.900 N	Динамическая грузоподъемность, радиальная
C_{0r}	4.650 N	Статическая грузоподъемность, радиальная
C_{ur}	295 N	Предел усталостной нагрузки, радиальный
n_G	7.100 1/min	Предельная частота вращения
m	265 g	Вес

Присоединительные размеры

$d_{a \min}$	35,6 mm	Мин. диаметр заплечика вала
$D_{a \max}$	56,4 mm	Макс. диаметр заплечика корпуса
$r_{a \max}$	1 mm	Макс. радиус галтели



Габаритные размеры

r_{\min}	1 mm	Мин. размер монтажной фаски
D_1	51,56 mm	Диаметр заплечика для наружного кольца
D_2	53,33 mm	Диаметр кромки у наружного кольца
d_1	39,55 mm	Диаметр заплечика внутреннего кольца
d_2	37,3 mm	Диаметр кромки у внутреннего кольца

Диапазон температур

T_{\min}	-20 °C	Мин. рабочая температура
T_{\max}	100 °C	Макс. рабочая температура

Коэффициенты для расчета

e	0,25	Предельное значение F_a/F_r для применимости различн. значений коэффициентов X и Y
Y_1	2,54	Динамический коэффициент осевой нагрузки
Y_2	3,93	Динамический коэффициент осевой нагрузки
Y_0	2,66	Статический коэффициент осевой нагрузки

Характеристики



Радиальная нагрузка



Осевая нагрузка в одном направлении



Осевая нагрузка в обоих направлениях



Смазка на весь срок службы, не требуют обслуживания



Смазывание пластичной смазкой



Уплотнения с обеих сторон



Статические угловые и линейные несоосности



Динамические угловые и линейные несоосности